

بررسی پخش ریزدانه‌ها درون سیلو در شرایط مختلف پر کردن

آرش نورمحمدی مقدمی^۱ - داریوش زارع^{۲*} - شهرداد کامفیروزی^۳ - عبدالعباس جعفری^۲ - محمدامین نعمت‌اللهی^۴ - رضا کمالی^۵

تاریخ دریافت: ۱۳۹۶/۱۰/۰۹

تاریخ پذیرش: ۱۳۹۶/۱۱/۲۸

چکیده

هنگام پر شدن سیلوه‌ها، ذرات ریزتر در زیر نقطه پر شدن تجمع می‌یابند و این باعث می‌شود که در فرآیند هوادهی که متعاقباً انجام می‌شود، انرژی بیشتری برای راندن هوا در مناطق با تراکم بالای ریزدانه‌ها صرف گردد. در این پژوهش، توزیع دانه‌های شکسته ذرت و مواد خارجی (BCFM) در سطوح مختلف پارامترهای تأثیرگذاری چون، محتوای اولیه ریزی دانه‌ها (initial BCFM) در سه سطح ۵، ۷/۵ و ۱۰ درصد، دبی ورودی محصول در سه سطح ۰/۵، ۱ و ۱/۵ لیتر بر ثانیه و قطر لوله پرکننده در سه سطح ۸۴، ۱۰۵ و ۱۲۰ میلی‌متر مورد بررسی قرار گرفت. نمونه‌گیری با استفاده از یک رویکرد جدید، در راستای شعاعی و عمودی در یک سیلوی آزمایشی انجام پذیرفت. نتایج نشان داد که با افزایش فاصله از مرکز سیلو مقدار ریزدانه‌ها کاهش می‌یابد و همچنین با افزایش محتوای اولیه ریزدانه‌ها، افزایش دبی ورودی محصول و افزایش قطر لوله پرکننده، پخش ریزدانه‌ها یکنواخت‌تر می‌گردد. اما با افزایش ارتفاع سطح محصول در داخل سیلو، پخش یکنواخت ریزدانه‌ها کاهش می‌یابد. همچنین یک مدل غیرخطی برای پیش‌بینی مقدار BCFM در راستای شعاعی و عمودی ارائه و بر اساس شاخص‌های آماری از قبیل، R^2 ، η ، $RMSE$ و $MRDM$ ارزیابی گردید که به‌ترتیب مقادیر ۰/۹۴، ۱/۱۴، ۱/۰۶، ۱۱/۳۹ برای شاخص‌های آماری مذکور به‌دست آمد و مشخص شد که مدل ارائه شده با داده‌های تجربی همخوانی دارد.

واژه‌های کلیدی: الگوی پخش ریزدانه‌ها، جریان مواد، ذرت، روش پرکردن، سیلو، مدل غیرخطی

مقدمه

می‌شوند، ریزدانه‌ها که شامل دانه‌های شکسته و برخی مواد خارجی می‌باشند در مرکز سیلو تجمع می‌یابند (Stephens and Foster, 1976). ذرات بزرگ‌تر به دلیل جرم بیشتر و اصطکاک سطحی کمتر نسبت به ذرات کوچک‌تر، تمایل به حرکت به سمت دیواره سیلو دارند، در حالی که ذرات کوچک‌تر در مرکز توده دانه باقی می‌مانند. از نقطه نظر دیگر، ریزدانه‌ها حین انتقال در درون لایه جریان، در حفره‌های موجود در لایه‌های ذرات بزرگ‌تر باقی می‌مانند در حالی که ذرات بزرگ‌تر عمدتاً به سمت دیواره سیلو هدایت می‌شوند. سطح شیب‌دار کپه تشکیل شده، مانند یک غربال عمل می‌کند که بر اثر آن ذرات کوچک‌تر به لایه‌های زیرین خود نفوذ می‌کنند. این پدیده به اثر غربال‌گری^۱ موسوم است (Schulze, 2008). اثر مذکور باعث می‌شود که ستونی از ریزدانه‌ها در مرکز سیلو تشکیل شود (Noyes et al., 2002). تمرکز ریزدانه‌ها در مرکز سیلو باعث پخش غیریکنواخت هوا در فرآیند هوادهی می‌گردد.

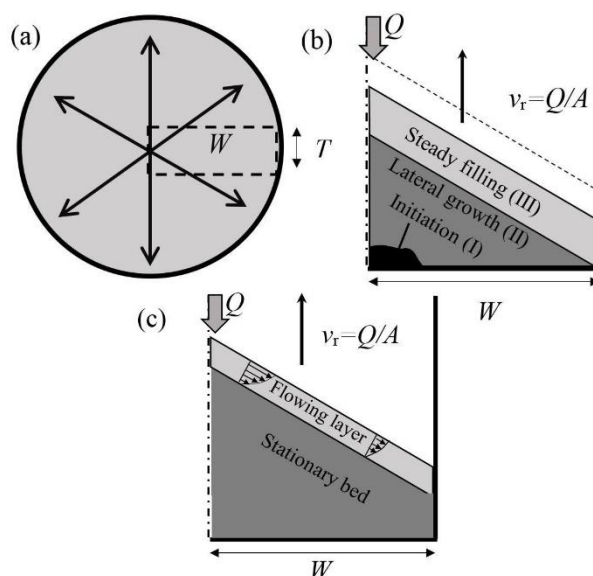
در چنین شرایطی نرخ جریان هوا در مرکز سیلو کمتر از اطراف آن می‌گردد (Bartosik and Maier, 2006). با توجه به درجه حرارت بالا و شرایط مرطوب دانه‌ها در سیلو، خطر ایجاد کپک‌ها و حشرات و سایر آلودگی‌ها در چنین شرایطی اجتناب‌ناپذیر است.

با توجه به نقش پررنگ ذرت در تأمین نیاز انسان و حیوان و کشت روزافزون آن در ایران، ارائه روش‌های نوین جهت نگهداری هر چه بهتر این محصول همواره از جایگاه ویژه‌ای نزد محققان برخوردار بوده است (Abbasi et al., 2014). در حین فرآیند پرکردن سیلو محصولات دانه‌ای، کپه‌ای مخروطی شکل در درون این سیلوه‌ها تشکیل می‌شود به طوری که مواد در حال سقوط، هنگامی که بر روی این کپه ریخته می‌شوند به صورت شعاعی در درون یک لایه موسوم به لایه جریان^۲ در تمامی جهات (شکل ۱ (a)) به پایین کپه و به سمت دیواره‌های سیلو هدایت می‌شوند (Fan et al., 2017). تحقیقات نشان داده است که حین پرکردن سیلوهایی که از وسط پر

۱، ۲، ۳ و ۴- به ترتیب دانشجوی دکتری، دانشیار، دانشجوی کارشناسی و استادیار، گروه مهندسی بیوسیستم، دانشکده کشاورزی، دانشگاه شیراز
۵- استاد، گروه مهندسی مکانیک حرارت و سیالات، دانشکده مکانیک، دانشگاه شیراز
* - نویسنده مسئول:
(Email: dzare@shirazu.ac.ir)

DOI: 10.22067/jam.v9i1.69749

6- Filling process
7- Flowing layer



شکل ۱- (a) نمای بالا از یک کپه سه بعدی تشکیل شده در داخل سیلو. پیکان‌ها جریان مواد و مستطیل نقطه‌چین یک کپه دو بعدی را نشان می‌دهد. **(b)** نمای کناری از یک کپه دو بعدی که با سرعت $v_r = Q/A$ در حال بالا آمدن است (Fan et al., 2012). **(c)** نمای کناری از یک کپه دو بعدی و پروفیل سرعت جریان مواد (Fan et al., 2013)

Fig. 1. (a) Top view sketch of a 3D heap, where arrows indicate flow of material.

Dashed box shows top view of the quasi-2D heap used here. (b) Side view sketch of a quasi-2D heap rising at the rise velocity $v_r = Q/A$, (Fan et al., 2012). (c) Side view of a 2D heap and velocity profile of flowing material (Fan et al., 2013)

سرعت جریان در درون لایه جریان به‌طور خطی در طول مسیر حرکت کاهش می‌یابد و در نتیجه یک گرادینان سرعت در جهت جریان پدید می‌آید (Fan et al., 2013). طبق مطالب یاد شده، می‌توان نتیجه گرفت که سرعت مواد در لایه جریان می‌تواند پخش ریزدانه‌ها را تحت تأثیر قرار دهد. Jayas و همکاران (۱۹۸۷) میزان پخش ریزدانه‌ها و پوسته‌های موجود در یک سیلوی کلزا را که با دو روش پرکردن پر شده بود مورد بررسی قرار دادند. فرآیند پرکردن سیلو با دو روش ۱- پرکردن توسط یک لوله واقع در مرکز^۵ و بالای سیلو و ۲- توسط یک پخش‌کن^۶ مخروطی صورت پذیرفت. نتایج نشان داد که استفاده از پخش‌کن دانه منجر به بهبود اندکی در پخش یکنواخت ریزدانه‌ها شد. نویسندگان همچنین یک معادله درجه دوم را برای پخش ریزدانه‌ها پیشنهاد دادند. به دلیل مشکلات عدیده‌ای که در کنترل شرایط آزمایشگاهی وجود داشت، اثرات پارامترهای دیگر مانند محتوای اولیه ریزدانه‌ها^۷، دبی ورودی محصول و قطر لوله پرکننده را (برای حالت پرکردن از وسط) در پخش ریزدانه‌ها در نظر نگرفتند. Shinohara و همکاران (۲۰۰۱) اثرات پارامترها مانند

برای طراحی بهینه فرآیندهای صنعتی از قبیل هوادهی محصولات دانه‌ای سیلو شده، پرکردن سیلوه‌ها و هر فرآیندی که شامل انتقال مواد است، لازم است که مطالعه پخش ریزدانه‌ها در دستور کار قرار گیرد Fan و همکاران (۲۰۱۲) با استفاده از یک مدل شبه دو بعدی^۱ به مطالعه جریان مواد حین پرشدن یک سیلو آزمایشگاهی پرداختند (شکل ۱). Q و W ، T به ترتیب نشان‌دهنده فاصله بین دیواره‌های جانبی دستگاه، عرض دستگاه و دبی حجمی جریان ورودی مواد به داخل سیلو هستند. همانطور که در شکل ۱ (b) نشان داده شده است، پر شدن یک مخزن یا سیلو شامل سه مرحله است. در مرحله یک (شکل‌گیری اولیه^۲)، مواد در حال سقوط بعد از رسیدن به ته مخزن تشکیل یک کپه نامنتظم می‌دهند. کمی بعد از آن، کپه به‌صورت جانبی گسترش می‌یابد و قاعده آن بزرگتر می‌شود تا زمانی که به دیواره سیلو برسد (مرحله دوم، گسترش جانبی^۳). در مرحله سوم (پرشدن پایا^۴)، سطح کپه به‌طور پیوسته با سرعت ثابت (v_r) به سمت بالا حرکت می‌کند. شکل ۱ (c) نشان می‌دهد که

5- Central spout
6- Spreader
7- Initial fine content

1- Quasi-two-dimensional apparatus
2- Initiation
3- Lateral growth
4- Steady filling

تأثیر پارامترهای تأثیرگذاری چون، محتوای اولیه ریزدانه‌ها، دبی جریان ورودی محصول و قطر لوله پرکننده ورودی (ب) ارائه یک مدل برای تعیین میزان ریزدانه‌ها در راستای شعاع و ارتفاع سیلو

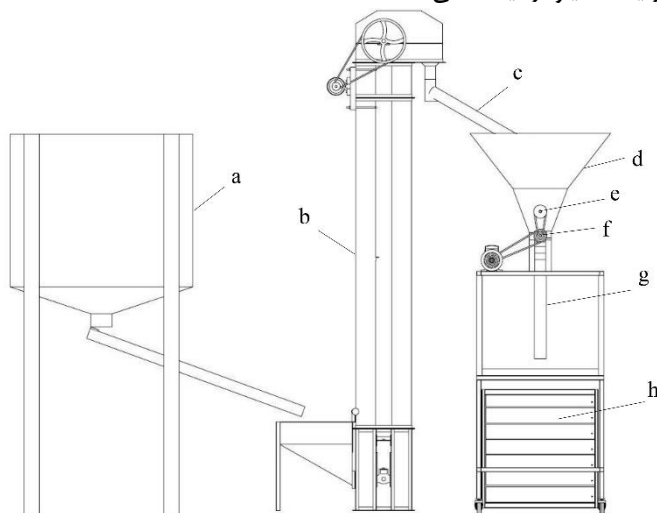
مواد و روش‌ها

تجهیزات آزمایشگاهی

شکل ۲ تجهیزات آزمایشگاهی طراحی و ساخته شده در بخش مهندسی بیوسیستم دانشگاه شیراز را نشان می‌دهد که در تحقیق حاضر مورد استفاده قرار گرفته است. این تجهیزات شامل یک مخزن اصلی دانه، بالابر، مخزن دوزنقه‌ای شکل، یک سیلو آزمایشگاهی می‌شدند. بالابر برای انتقال مواد از مخزن اصلی به مخزن دوزنقه‌ای استفاده می‌شد. برای کاهش خطا در اندازه‌گیری، دانه‌های ذرت (ذرت سالم، ذرت شکسته و مواد خارجی) باید در داخل مخزن دوزنقه‌ای به خوبی مخلوط شوند. برای این منظور، یک لوله دو راهه در خروجی بالابر (جهت تقسیم جریان مواد به دو جریان هنگام پرکردن مخزن دوزنقه‌ای) نصب شد. علاوه بر این، یک همزن نیز به صورت افقی در کف مخزن دوزنقه‌ای قرار داده شد. دبی خروجی مواد از مخزن دوزنقه‌ای توسط یک مکانیزم غلتکی شیاردار کنترل می‌گردید. سیلو آزمایشگاهی (شکل ۳) شامل هفت حلقه بود که با استفاده از یک شاسی بر روی یکدیگر قرار می‌گرفتند. فاصله عمودی بین حلقه‌ها در حدود ۱۵ میلی‌متر در نظر گرفته شد. ارتفاع و قطر هر حلقه به ترتیب ۰/۱۴ و ۱ متر بود.

محتوای اولیه ریزدانه و دبی ورودی محصول را حین پرکردن یک مخزن مخروطی شکل دو بعدی بررسی کردند. نتایج نشان داد که میزان پخش ریزدانه‌ها با افزایش محتوای اولیه ریزدانه و افزایش دبی پخش ریزدانه‌ها یکنواخت‌تر می‌شود. Schulze (۲۰۰۸) اظهار داشت که هرچه دبی ورودی محصول به داخل سیلو افزایش یابد لایه جریان ضخیم‌تر می‌شود. بنابراین، ذرات کوچک‌تر قبل از اینکه بتوانند به لایه‌های زیرین خود نفوذ کنند، به سمت دیواره‌های سیلو هدایت می‌شوند (در فاصله دورتری از مرکز سیلو قرار می‌گیرند). Engblom و همکاران (۲۰۱۲) به بررسی پخش ذرات شن و ماسه حین فرآیندهای پرکردن و خالی کردن پرداختند و در این مورد مدل یک ابعادی ارائه دادند. پارامترهای موثر در پخش ذرات در طی فرآیند پرکردن، درصد جرمی ذرات، نسبت اندازه ذرات (درشت/ریز)، فاصله سقوط آزاد، قطر سیلو و قطر لوله پرکننده بود. مدل ارائه شده با نتایج تجربی همخوانی خوبی داشت. Combarros Garcia و همکاران (۲۰۱۵) به بررسی پخش ذرات شن و ماسه در یک سیلو آزمایشی در طی فرآیند پرکردن و تخلیه پرداختند. پخش ذرات در امتداد عرض و ارتفاع سیلو مورد بررسی قرار گرفت. آزمایشات نشان داد که تمرکز ذرات درشت یک تابع درجه دوم از عرض سیلو است و به صورت خطی با ارتفاع سیلو افزایش می‌یابد. با مروری بر مطالعات گذشته، خلاء یک تحقیق که به بررسی سه بعدی پخش ریزدانه‌ها در امتداد شعاعی و عمودی یک سیلو ذخیره‌کننده مواد دانه‌ای کشاورزی تحت تأثیر پارامترهای تأثیرگذاری چون، محتوای اولیه ریزی دانه‌ها، دبی ورودی محصول و قطر لوله پرکننده ورودی احساس می‌گردد. با توجه به مطالب یاد شده اهداف این تحقیق عبارتند از:

الف) بررسی پخش ریز دانه‌ها در یک سیلو آزمایشگاهی تحت



شکل ۲- تجهیزات آزمایشگاهی (a) مخزن اصلی، (b) بالابر، (c) لوله دوراهه، (d) مخزن دوزنقه‌ای، (e) محور همزن، (f) محور مکانیزم غلتکی

شیاردار، (g) لوله پرکننده، (h) سیلو آزمایشگاهی متشکل از هفت حلقه

Fig. 2. Experimental set up (a) Main container, (b) Elevator, (c) Y-Shaped pipe, (d) Trapezoidal container, (e) Agitator, (f) Fluted roller mechanism, (g) Fill pipe, (h) Pilot scale silo consist of seven rings

روند انجام آزمایش‌ها

مطالعه موردی در این تحقیق ذرت دانه‌ای رقم ۷۰۴ بود که از یک موسسه کشاورزی واقع در شهرستان شیراز تهیه گردید. مطابق با استاندارد (ASABE, 2008) رطوبت اولیه ذرت در یک آن آزمایشگاهی (گرمایش در دمای ۱۰۳ درجه سلسیوس به مدت ۷۲ ساعت) اندازه‌گیری شد. رطوبت اولیه ذرت 14 ± 0.5 گزارش گردید. از شاخص BCFM (ذرت شکسته و مواد خارجی) برای تعیین میزان ریزدانه‌ها استفاده گردید. BCFM مقدار موادی است که از یک الک متشکل از سوراخ‌های دایره‌ای با قطر $4/8$ میلی‌متر عبور می‌کند. در این مطالعه، از روش دستی برای تعیین میزان ریزدانه‌ها استفاده گردید (USDA, 2013). آزمایش‌ها در سه سطح ۵، $7/5$ و 10 درصد برای محتوای اولیه ریزدانه‌ها (BC_I)، سه سطح ۸۴، 105 و 120 میلی‌متر برای قطر لوله پرکننده (D_F) و سه سطح $1/5$ و $10/5$ لیتر بر ثانیه برای دبی جریان ورودی محصول (Q) انتخاب شدند. آزمایش‌ها در سه تکرار انجام شد. با در نظر گرفتن تمام سطوح تیمارها و تکرارها جمعاً ۸۱ تست انجام شد. برای تنظیم میزان BC_I قبل از انجام آزمایش‌ها، دانه ذرت با درصد مشخصی از ریزدانه‌ها مخلوط می‌شد. در میان پارامترهای فیزیکی تأثیرگذار بر پخش ریزدانه‌ها، دانسیته توده‌ای^۱ و زاویه انباشتگی^۲ برای هر سه سطح BC_I اندازه‌گیری شد (جدول ۱). همچنین قطر کره معادل دانه ذرت (با اندازه‌گیری صد عدد دانه ذرت سالم) با استفاده از یک کولیس دیجیتال (USA, Neiko, model: 01409A) با دقت 0.01 میلی‌متر طبق رابطه (۱) محاسبه گردید (Mohsenin, 1985):

$$D_g = (L_g W_g T_g)^{1/3} \quad (1)$$

که D_g ، L_g ، W_g و T_g به ترتیب قطر کره معادل، طول، عرض و ضخامت دانه ذرت می‌باشند. قطر کره معادل دانه ذرت سالم $7/8 \pm 0/18$ میلی‌متر به دست آمد. اندازه‌گیری دانسیته توده‌ای مطابق با روشی که Stroschine (۲۰۰۴) بیان داشته انجام پذیرفت. در ابتدا مقداری ذرت با BC_I مشخص در داخل یک بشر با حجم مشخص ریخته می‌شد. سپس با استفاده از یک تخته چوبی صاف سطح ذرت ریخته شده در بشر مسطح می‌گردید (به گونه‌ای که تخته چوبی در تماس با لبه بشر حرکت داده می‌شد). دانسیته توده‌ای با تقسیم وزن ذرت موجود در بشر بر حجم بشر محاسبه می‌شد. برای اندازه‌گیری زاویه انباشتگی از یک جعبه چوبی مکعبی شکل استفاده شد. در داخل این مکعب یک ستون دایره‌ای شکل با شعاع مشخص قرار داشت. بعد از اینکه جعبه مذکور با ذرت پر می‌شد یکی از دیواره‌های آن برداشته می‌شد. با این کار ذرت‌های موجود در مکعب تخلیه و فقط مقداری

ذرت روی ستون دایره‌ای شکل باقی می‌ماند. با دانستن شعاع ستون و اندازه‌گیری ارتفاع مخروطی شکل مواد روی ستون، زاویه انباشتگی محاسبه می‌گردید.

قبل از پرکردن سیلو، از یک نوار چسب برای درزگیری فاصله بین حلقه‌های استفاده شد تا از خروج مواد جلوگیری شود. برای تقسیم ستون مواد به هفت قسمت، پس از پر شدن سیلو، شش ورق جداکننده (شکل ۳) در فاصله بین حلقه‌ها (از پایین به بالا برای حفظ فشار بر لایه‌های پایین به علت وزن ستون مواد) به صورت کشویی وارد می‌شد. به دلیل شکل کپه مخروطی تشکیل شده در بالای سیلو، نمونه‌گیری برای اولین حلقه از بالا انجام نگرفت. همچنین برای جلوگیری از اثر مراحل شکل‌گیری اولیه و گسترش جانبی در کف مخزن پایین‌ترین حلقه نیز در آزمایش‌ها مد نظر قرار نگرفت. برای تعیین محل نمونه‌گیری در راستای شعاعی از یک راهنمای Y شکل (شکل ۴ و ۵ (b)) شامل ده حلقه کوچک استفاده گردید به صورتی که استوانه‌های نمونه‌برداری از طریق حلقه‌های این راهنما به داخل محصول وارد می‌شد. شکل ۵ (a) موقعیت نمونه‌گیری را در سیلو آزمایشی نشان می‌دهد. موقعیت هر نقطه نمونه‌گیری با دو عدد بدون بعد R (فاصله از مرکز سیلو که با تقسیم بر شعاع سیلو بدون بعد شده است) و Z (فاصله از کف سیلو که با تقسیم بر ارتفاع سیلو بدون بعد شده است) نشان داده می‌شود. در تحقیق حاضر میزان BCFM مربوط به هر موقعیت نمونه‌گیری با BC_L نشان داده می‌شود. لازم به ذکر است که گرچه نمونه‌برداری در سه تکرار انجام گردید، مقدار BC_L در نقاط نمونه‌برداری A ، B و C (شکل ۵ (b)) میانگین BC_L سه نمونه است که در همان فاصله از مرکز قرار دارد. به عنوان مثال، مقدار BC_L در نقطه A به طور متوسط از سه نقطه نمونه‌برداری است که روی دایره A' واقع شده‌اند. با اجرای این روش، جریان مواد روی پشته تشکیل شده درون سیلو در سه جهت شعاعی در نظر گرفته خواهد شد. مواد داخل سیلندر نمونه‌گیری توسط یک مکنده تخلیه می‌شد و با استفاده از یک ترازوی دیجیتالی (A & D, GF-600، Japan، Company) با دقت 0.01 گرم) میزان ریزدانه‌های آن وزن و BC_L تعیین می‌شد. این روش برای سایر حلقه‌ها از بالا به پایین تکرار شد. این روش برای اولین بار در تعیین BC_L در جهت شعاعی و عمودی در یک سیلوی آزمایشی به کار گرفته شد. از مزایای این روش این است که نمونه‌گیری بدون ایجاد برهم خوردگی نقطه نمونه‌گیری انجام می‌شود. در روش‌هایی که با پراب نمونه‌برداری صورت می‌گیرد مشکل ایجاد برهم خوردگی در نقطه نمونه‌گیری وجود دارد که باعث خطا در آزمایش‌ها می‌شود.

تجزیه و تحلیل آماری داده‌ها

داده‌های به دست آمده از آزمایشات با استفاده از روش ANOVA

- 1- Bulk density
- 2- Angle of repose

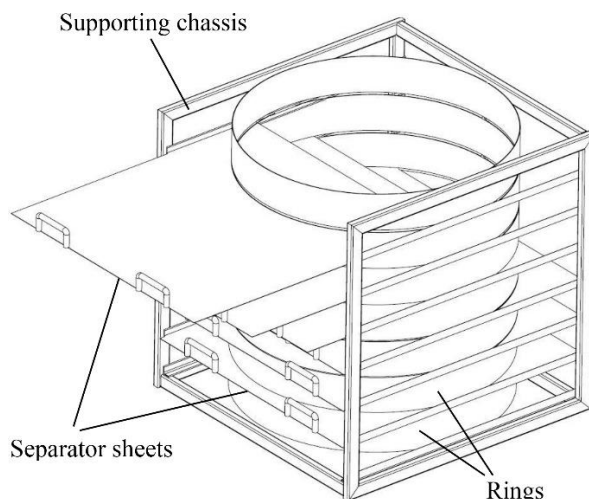
یک فرآیند سعی و خطا با استفاده از شاخص‌های آماری چون R^2 ، χ^2 ، میانگین مربعات خطا ($RMSE$) و میانگین انحرافات نسبی ($MRDM$) مورد ارزیابی قرار گرفت. مناسب‌ترین مدل بر اساس بیشترین مقدار R^2 و کمترین مقدار χ^2 ، $RMSE$ و $MRDM$ انتخاب شد. شاخص‌های آماری مذکور در معادلات (۲) تا (۵) آمده‌اند.

و توسط یک نرم‌افزار آماری (SPSS, 2012) تجزیه و تحلیل شد. روش تحلیل بر اساس آزمایش فاکتوریل بر پایه طرح کاملاً تصادفی با سه تیمار و سه تکرار در سطح معنی‌داری ۵٪ انجام گردید. همچنین از تکنیک رگرسیون غیرخطی برای ارائه مدل جهت پیش‌بینی الگوی پخش ریزدانه‌ها استفاده شد. توانایی پیش‌بینی مدل‌های مختلف در

جدول ۱- خصوصیات فیزیکی مواد مورد آزمایش در سه سطح از میزان محتوای اولیه ریزی دانه‌ها

Table 1- Physical properties of tested materials at three levels of initial BCFM

	محتوای اولیه ریزی دانه‌ها			
	Initial BCFM (BC_I)			
	0%	5%	7.5%	10%
دانشیه توده‌ای (کیلوگرم بر متر مکعب) Bulk density (kg m^{-3})	718±1.6	732±1.8	741±1.8	751±1.9
زاویه انباشتگی (درجه) Angle of repose ($^\circ$)	22.5	24.5	26.2	28



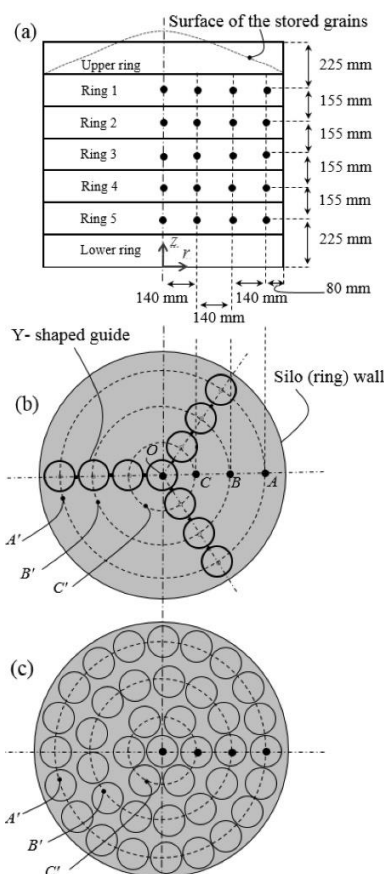
شکل ۳- طرح‌واره‌ای از سیلو آزمایشگاهی

Fig. 3. Schematic of the experimental silo



شکل ۴- راهنمای Y شکل و استوانه‌های نمونه‌برداری

Fig. 4. Y-shaped guide and sampling cylinders



شکل ۵- (a) موقعیت نقاط نمونه‌برداری، (b) و (c) نمای بالا از محل نقاط نمونه‌برداری
 Fig. 5. (a) Sampling positions, (b) and (c) are top view of sampling positions

$$NUF_R = \frac{\sigma}{BC_I} \quad (۶)$$

که

$$\sigma^2 = \frac{1}{3} \sum_{i=1}^4 (BC_{L,i} - BC_I)^2 \quad (۷)$$

σ میزان انحراف BC_L در نقاط مختلف نمونه‌برداری ($BC_{L,i}$) از میزان محتوای اولیه ریزی دانه‌ها (BC_I) می‌باشد. همچنین برای یک سیلو (که شامل پنج حلقه می‌باشد) ضریب غیریکنواختی عبارت است از:

$$NUF_S = \frac{1}{5} \sum_{j=1}^5 NUF_{R,j} \quad (۸)$$

نتایج و بحث

جدول ۲ نتایج حاصل از ANOVA را برای ارزیابی تأثیر تیمارها نشان می‌دهد. مشخص شد که اثرات همه پارامترها (همچنین همه تعاملات) در سطح احتمال ۵٪ معنی‌دار بود. بنابراین می‌توان نتیجه گرفت که BC_L تابعی از D_F ، Q ، R و Z است.

$$R^2 = 1 - \left(\frac{\sum_{i=1}^n (\phi_{ex,i} - \phi_{pr,i})^2}{\sum_{i=1}^n (\phi_{ex,i} - \phi_{ex,a})^2} \right) \quad (۲)$$

$$\chi^2 = \frac{\sum_{i=1}^n (\phi_{ex,i} - \phi_{pr,i})^2}{n - m} \quad (۳)$$

$$RMSE = \sqrt{\frac{1}{n} \sum_{i=1}^n (\phi_{ex,i} - \phi_{pr,i})^2} \quad (۴)$$

$$MRDM = \frac{100}{n} \sum_{i=1}^n \left(\frac{|\phi_{ex,i} - \phi_{pr,i}|}{\phi_{ex,i}} \right) \quad (۵)$$

که n تعداد مشاهدات، $\phi_{ex,i}$ آمین داده تجربی، $\phi_{pr,i}$ آمین داده پیش‌بینی شده، $\phi_{ex,a}$ میانگین داده‌های تجربی و m تعداد ثابت‌های مدل می‌باشد. در این مطالعه برای بررسی پخش ریزدانه‌ها در راستای شعاعی در یک ارتفاع مشخص (برای یک حلقه) از یک ضریب غیریکنواختی^۱ (NUF) توسط Shinohara و همکاران (۲۰۰۱) نیز به‌کارگرفته شده بود استفاده شد:

جدول ۲- نتایج حاصل از آنالیز واریانس برای ارزیابی تأثیر تیمارها

Table 2 - The results of ANOVA used for assessing the efficiency of main parameters

منابع تغییرات	درجه آزادی	مجموع مربعات	میانگین مربعات	F value
Source of variation	Degree of freedom	Sum of squares	Mean square	
BC_L	2	7462.171	3731.086	238353.790*
Q	2	447.219	223.609	14285.189*
D_F	2	50.214	25.107	1603.945*
Z	4	1051.478	262.869	16793.304*
R	3	18486.283	6162.094	393662.731*
Error	1078	16.874	.016	
Total	1620	209167.535		

* معنی‌دار در سطح احتمال ۵٪

ضریب تغییرات: ۰/۱۲۰

* Significant at $P < 0.05$.

CV: 0.0120

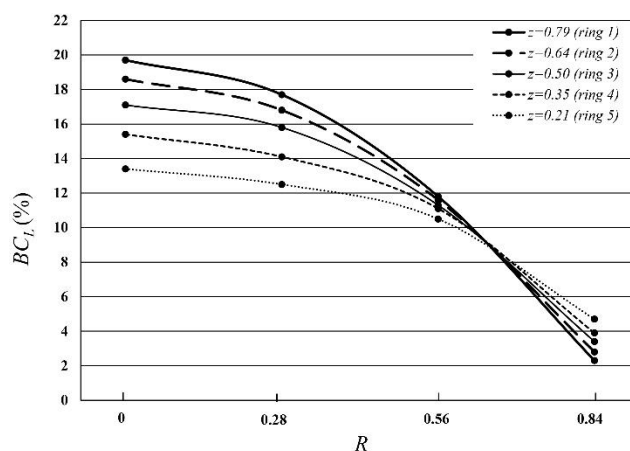
پخش ریزدانه‌ها در راستای شعاعی سیلو

شکل ۷ (a) نشان‌دهنده نمای سه بعدی یک قطاع از لایه جریان بر روی سطح شیب‌دار کپه (شکل ۷ (b)) در داخل یک سیلو است. همانطور که در شکل دیده می‌شود، لایه جریان مشابه جریان در یک "کانال به تدریج گسترش یافته" است. همچنان که R افزایش می‌یابد، ضخامت لایه جریان کاهش می‌یابد و این امر موجب کاهش سرعت مواد در امتداد مسیر خود روی سطح کپه می‌شود. چنین مصداقی برای تحلیل دو بعدی لایه جریان وجود ندارد. شکل ۶ نمودار تغییرات BC_L را در طول شعاع سیلو (نقاط O به A در شکل ۵ (b)) برای حلقه ۱ ($Z = 0/21$) تا حلقه ۵ ($Z = 0/79$) نشان می‌دهد. محتوای ریزی دانه‌ها (BC_L) در امتداد لایه جریان، به دلیل اثر غربال‌گری، به‌طور غیرخطی با روند کاهنده‌ای کاهش می‌یابد. این رویه در کاهش ریزدانه‌ها در راستای شعاعی سیلو با نتایج حاصل از تحقیق Shinohara و همکاران (۲۰۰۱) و Jayas و همکاران (۱۹۸۷) مطابقت دارد. مقدار BC_L در ابتدای لایه جریان (مرکز سیلو) بیشترین است و مادامی که خطوط جریان به‌صورت شعاعی از یکدیگر فاصله می‌گیرند ریزدانه‌ها نیز از یکدیگر دور می‌شوند. به علت اثر غربال‌گری، مقادیر زیادی از ریزدانه‌ها در قسمت‌های نزدیک به مرکز سیلو بر جای می‌مانند و این باعث می‌شود که میزان تغییر BC_L بین بخش‌های ۱ و ۲ کمتر از میزان تغییر بین بخش‌های ۲ و ۳ و همچنین بین بخش‌های ۳ و ۴ باشد. نتایج آزمایش‌ها نشان داد که در آنالیزهای سه‌بعدی فرآیند پر شدن سیلو، میزان BC_L تقریباً میانگین وزنی از مقادیر BC_L نقاط نمونه‌برداری است که در طول شعاع سیلو اندازه‌گیری می‌شود. نقاط نمونه‌برداری که از مرکز سیلو دورتر هستند وزن بیشتری نسبت به سایر نقاط دارند (به‌عنوان مثال در شکل ۵ (b))، نقطه A دارای بالاترین وزن است و نقطه O دارای کمترین وزن است). با توجه به شکل ۵ (c)، وزن نقاط نمونه‌برداری C ، B و A

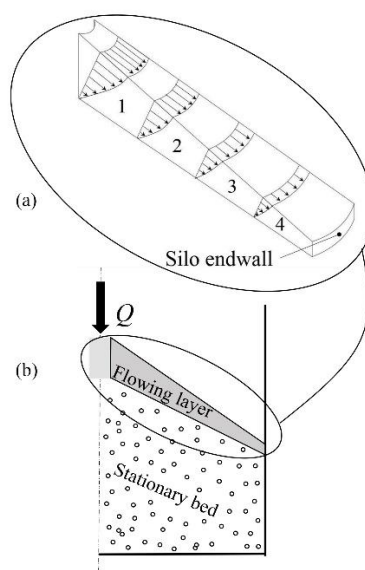
تعداد حلقه‌های کوچک (هم‌اندازه با شعاع ظرف نمونه‌گیر) است که می‌توانند بر روی دایره‌های نقطه‌چین C' ، B' و A' چیده شوند. بنابراین، وزن در نقطه O ، C ، B و A به ترتیب ۱، ۶، ۱۳ و ۲۰ خواهد بود. به‌عنوان مثال، در شکل ۶، میانگین وزنی BC_L برای حلقه ۱ برابر است با: $40 = 8/1\% + ((19/1\% \times 1) + (17/7\% \times 6) + (11/8\% \times 13) + (2/3\% \times 20)) / 40$ که تقریباً برابر با میزان BC_L ، یعنی ۷/۵٪ است. می‌توان نتیجه گرفت که در یک سیلو که از وسط پر می‌شود، می‌توان از میانگین وزنی مقادیر BC_L نقاط نمونه‌برداری که در طول شعاع سیلو اندازه‌گیری می‌شود برای تعیین محتوای اولیه ریزی دانه‌ها استفاده نمود.

تأثیر ارتفاع (Z)

همانطور که در شکل ۶ دیده می‌شود، هنگامی که Z کاهش می‌یابد، روند کاهنده نمودارهای پخش ریزدانه‌ها کاهش می‌یابد (تقریباً به سمت خطی بودن میل می‌کنند). شکل ۸ نشان می‌دهد که در $R=0$ ، $R=0/28$ و $R=0/56$ با افزایش Z میزان BC_L به‌طور خطی افزایش می‌یابد. اما روند متفاوتی برای نقطه $R=0/84$ وجود دارد. در نقطه مذکور BC_L با افزایش Z کاهش می‌یابد. بر اساس داده‌های جدول ۳، NUF_R با افزایش ارتفاع (Z) افزایش می‌یابد. به‌عنوان مثال، در آزمایش ۱، تغییر Z از ۰/۲۱ به ۰/۷۹ باعث افزایش NUF_R از ۷۷/۹۵٪ تا ۱۶۲/۸۷٪ می‌شود. این بدان معنی است که در ارتفاع‌های بالاتر مواد داخل سیلو، مقدار کمتری از ریزدانه‌ها به سمت دیواره‌های سیلو منتقل می‌شود. دلیل این امر این است مادامی که سیلو در حال پر شدن است ارتفاع مواد ریخته شده در درون سیلو افزایش می‌یابد در نتیجه فاصله سقوط آزاد مواد در حال ریزش کمتر می‌شود که با نتیجه کم شدن این فاصله نیروی برخورد جریان در حال سقوط با بستر ثابت مواد کمتر می‌شود (Fan et al., 2017) و این امر باعث می‌شود باعث می‌شود که سرعت مواد در طول لایه جریان کمتر شود و در نتیجه ذرات ریز کمتری به دیواره سیلو برسد.



شکل ۶- پروفیل توزیع BC_L در راستای شعاعی سیلو در ارتفاع‌های مختلف درون سیلو ($D_F=84\text{ mm}$ و $Q=0.5\text{ lit s}^{-1}$ ، $BC_I=7.5\%$)
Fig. 6. Distribution profile of local BCFM (BC_L) along radial direction at different heights (related to $BC_I = 7.5\%$, $Q = 0.5\text{ lit s}^{-1}$ and $D_F = 84\text{ mm}$)



شکل ۷- (a) نمای سه بعدی یک قطاع از لایه جریان، (b) نمای کناری از لایه جریان. پیکان‌ها بزرگی بردارهای سرعت را نشان می‌دهند.
Fig. 7. (a) A 3D view of a sector from flowing layer, (b) side view of flowing layer, where arrows indicate velocity magnitude of materials through flowing layer

جدول ۳- مقادیر NUF_R و NUF_S در شرایط مختلف آزمایشگاهی

Table 3- The values of NUF_R and NUF_S at different experimental conditions

No.	BC_I (%)	Q (kg m^{-3})	D_F (mm)	Z	NUF_R	NUF_S
1	5	0.5	84	0.79	162.87	122.16^a
				0.64	144.02	
				0.50	124.13	
				0.35	101.83	
				0.21	77.95	
2	5	0.5	105	0.79	159.64	119.57
				0.64	142.05	
				0.50	123.64	
				0.35	98.22	
				0.21	74.31	

3	5	0.5	120	0.79	145.44	110.35
				0.64	135.48	
				0.50	116.89	
				0.35	92.15	
				0.21	61.81	
4	7.5	0.5	105	0.79	100.45	78.80
				0.64	91.57	
				0.50	80.88	
				0.35	67.28	
				0.21	53.81	
5	7.5	1	105	0.79	94.23	72.61
				0.64	85.98	
				0.50	74.89	
				0.35	61.26	
				0.21	46.71	
6	7.5	1.5	105	0.79	78.23	53.57
				0.64	67.98	
				0.50	55.19	
				0.35	40.47	
				0.21	26.00	
7	5	1.5	84	0.79	111.92	80.77
				0.64	98.91	
				0.50	83.01	
				0.35	65.90	
				0.21	44.10	
8	7.5	1.5	84	0.79	82.33	56.56
				0.64	71.96	
				0.50	57.62	
				0.35	42.68	
				0.21	28.23	
9	10	1.5	84	0.79	63.17	47.15
				0.64	56.01	
				0.50	47.74	
				0.35	38.53	
				0.21	30.28	
10	7.5	1	84	0.79	100.45	78.80
				0.64	91.57	
				0.50	80.88	
				0.35	67.28	
				0.21	53.81	
11	7.5	1	120	0.79	86.62	59.53
				0.64	74.24	
				0.50	59.77	
				0.35	45.96	
				0.21	31.09	
12	10	0.5	120	0.79	84.61	63.71
				0.64	79.71	
				0.50	70.53	
				0.35	51.72	
				0.21	31.96	
13	10	1	120	0.79	67.40	45.33
				0.64	56.57	
				0.50	44.77	
				0.35	34.62	
				0.21	24.29	
14	10	1.5	120	0.79	50.40	36.97 ^b
				0.64	45.11	
				0.50	38.73	
				0.35	29.39	
				0.21	21.22	

^a: بیشترین مقدار شاخص غیریکنواختی سیلو در پخش ریزدانه‌ها

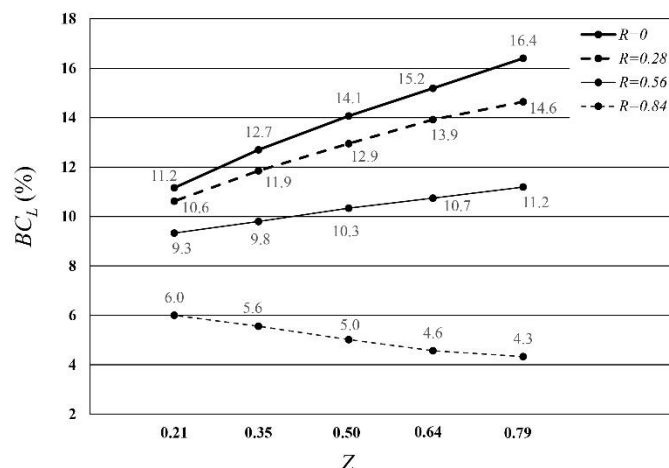
^b: کمترین مقدار شاخص غیریکنواختی سیلو در پخش ریزدانه‌ها

^a: Maximum value of NUF_s

^b: Minimum value of NUF_s

برسند. این امر موجب کاهش یکنواختی پخش ریزدانه‌ها در امتداد شعاع سیلو می‌شود.

بر این اساس همانطور که Engblom و همکاران (۲۰۱۲) نیز اظهار داشته‌اند، در ارتفاع‌های بالاتر (فاصله سقوط کمتر) میزان کمتری از ریزدانه‌ها می‌توانند به انتهای لایه جریان (دیواره سیلو)



شکل ۸- میانگین BC_L در ارتفاع‌های مختلف

Fig. 8. Mean of local BCFM (BC_L) at different heights

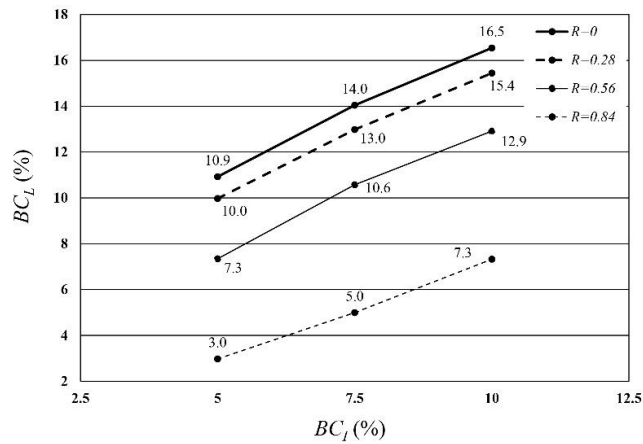
علی‌رغم نتایج فوق، وجود مقادیر زیاد ریزدانه‌ها در داخل سیلوهای نگهداری محصولات دانه‌ای کشاورزی بسیار نامطلوب است.

تأثیر دبی ورودی

شکل ۱۰ نشان می‌دهد چگونگی تأثیر دبی ورودی محصول را بر BC_L نشان می‌دهد. در $R=0$ ، $R=0.28$ و $R=0.56$ با افزایش دبی ورودی محصول کاهش می‌یابد، اما در $R=0.84$ با افزایش دبی ورودی محصول افزایش می‌یابد. این بدان معنی است که در دبی‌های بالاتر مقادیر زیادی از ریزدانه‌ها به سمت دیواره‌های سیلو منتقل می‌شود. همانطور که در شکل ۱۱ دیده می‌شود، با افزایش دبی، پخش ریزدانه‌ها یکنواخت‌تر می‌شود. نتایج نشان داد که NUF_S با افزایش دبی کاهش می‌یابد (به‌عنوان مثال در جدول ۳، آزمایش ۴ تا ۶ با افزایش دبی ورودی از ۰/۵ تا ۱/۵ لیتر بر ثانیه، NUF_S از ۷۸/۸۰٪ به ۵۳/۵۷٪ کاهش می‌یابد). Fan و همکاران (۲۰۱۷) اظهار داشتند که ذرات ریز در هنگام برخورد با ذرات بزرگ‌تر (مانند زمانی که یک توپ تنیس با یک توپ بسکتبال برخورد می‌کند) به سمت دیواره سیلو پرتاب می‌شوند. این امر در دبی‌های بالاتر بیشتر به چشم می‌خورد. هرچه دبی افزایش یابد لایه جریان ضخیم‌تر می‌شود (Koeppel et al., 1998; Schulze, 2008; Fan et al., 2002) و باعث می‌شود ریزدانه‌ها قبل از اینکه بتوانند به لایه‌های زیرین نفوذ کنند، در حین حرکت در درون لایه جریان به سمت دیواره‌های سیلو هدایت شوند.

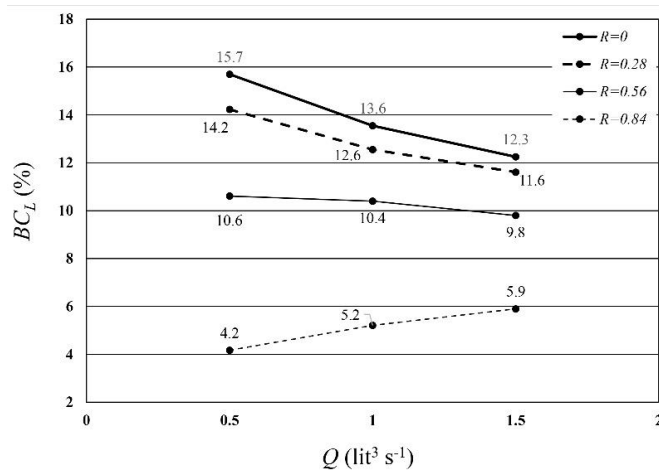
تأثیر میزان محتوای اولیه ریزی دانه‌ها (BC_I)

شکل ۹ تغییرات BC_L را از $R=0$ تا $R=0.84$ در سه سطح BC_I نشان می‌دهد. همانطور که دیده می‌شود میزان BC_L با افزایش BC_I افزایش می‌یابد. اما نکته اینجاست: NUF_S با افزایش BC_I کاهش می‌یابد (در جدول ۳، آزمایش ۷ تا ۹، افزایش BC_I از ۵٪ به ۱۰٪ منجر به کاهش NUF_S از ۸۰/۷۷٪ به ۴۷/۱۵٪ می‌شود). دلیل این امر این است که در BC_I بالاتر (کثرت ریزدانه‌ها)، تمام ریزدانه‌ها در لایه جریان نمی‌توانند به لایه‌های زیرین (فضای موجود بین ذرات درشت‌تر) نفوذ کنند و بسیاری از آنها همراه با مواد درشت‌تر به سمت دیواره سیلو هدایت می‌شوند. به عبارت دیگر، در مقادیر بالای BC_I اثر غربال‌گری کمتر است. علاوه بر مطالب یادشده می‌توان به موضوع دیگر نیز اشاره نمود: هرچه ذرات داخل سیلو ریزتر باشد (یا میزان ریزدانه‌ها بیشتر باشد) کپه تشکیل شده شیب تندتری به‌خود خواهد گرفت و این باعث جریان روان‌تر مواد در طول لایه جریان می‌شود. بنابراین، ریزدانه‌ها لایه‌های مواد درشت‌تر می‌توانند به فاصله دورتری از مرکز سیلو هدایت شوند. از مطالب فوق می‌توان نتیجه گرفت که اثر غربال‌گری در مقادیر کمتر BC_I ، بیشتر از اثر غربال‌گری در مقادیر بیشتر BC_I است. این نتایج با نتایج به‌دست آمده توسط Shinohara و همکاران (۲۰۰۱)، Schulze (۲۰۰۸) و Jain و همکاران (۲۰۱۳) همخوانی دارد. به‌طور کلی می‌توان گفت که پخش ریزدانه‌ها در سیلوهای دارای مقادیر بیشتر BC_I ، نسبت به سیلوهای دارای مقادیر کمتر BC_I ، یکنواخت‌تر است. اما لازم به ذکر است که



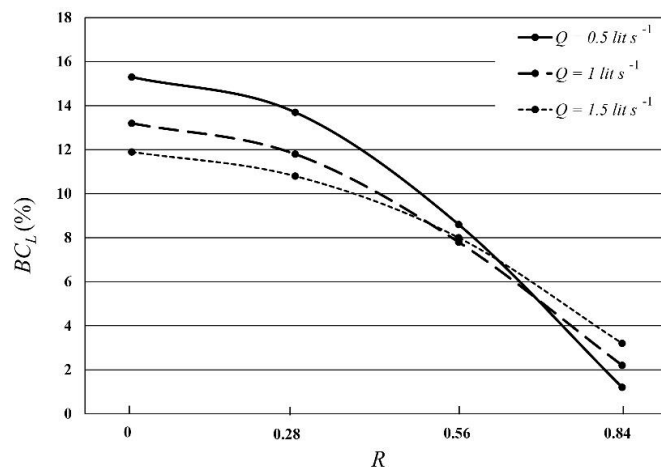
شکل ۹- میانگین BC_L در سطوح مختلف از محتوای اولیه ریزی دانه‌ها

Fig. 9. Mean of local BCFM (BC_L) as influenced by different levels of initial BCFM



شکل ۱۰- میانگین BC_L در سطوح مختلف از دبی ورودی محصول

Fig. 10. Mean of local BCFM (BC_L) as influenced by different volume flow rate



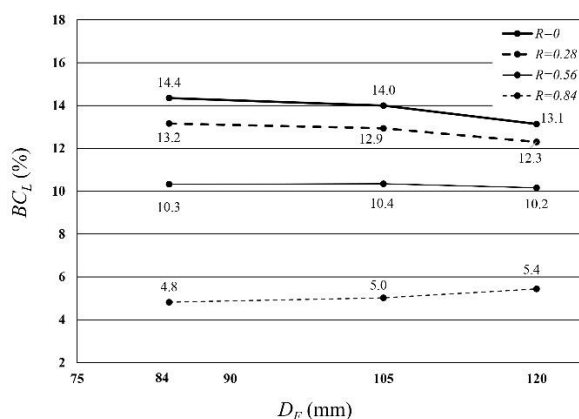
شکل ۱۱- پروفیل توزیع BC_L در راستای شعاعی سیلو در سطوح مختلف از دبی ورودی محصول ($Z = 0.79$ و $D_F = 84$ mm، $BC_I = 5\%$)

Fig. 11. Distribution profile of local BCFM (BC_L) along radial direction in silo as influenced by different volume flow rates (related to $BC_I = 5\%$, $D_F = 84$ mm and $Z=0.79$)

تأثیر قطر لوله پرکننده

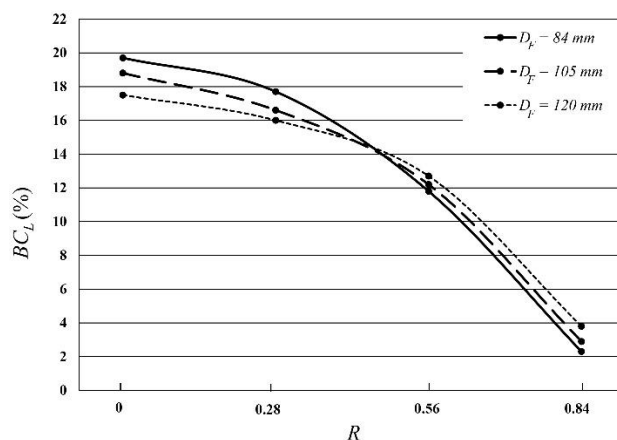
ریزش بزرگتر محصول) و ارتفاع آن کوتاه‌تر شود. به بیان دیگر هرچه قطر لوله افزایش یابد طول غربال‌گری کمتر می‌شود و باعث پخش یکنواخت‌تر ریزدانه‌ها می‌شود. از نقطه نظر دیگر، از آنجایی که جریان مواد در لوله‌های بزرگ‌تر روان‌تر است (تلفات انرژی کمتر)، بنابراین جریان مواد در حین حرکت در لایه جریان، انرژی بیشتری برای رسیدن به دیواره سیلو دارند که منجر به یکنواختی بیشتر در پخش ریزدانه‌ها می‌شود. از دیگر نکات مشهود در شکل ۱۲ و مقادیر NUF_S در جدول ۳ این است که میزان تغییر در BC_L تحت تأثیر تغییر در قطر از ۸۴ به ۱۰۵ میلی‌متر کمتر از میزان تغییر در BC_L تحت تأثیر تغییر در قطر از ۱۰۵ به ۱۲۰ میلی‌متر است. این نشان می‌دهد که یکنواختی در پخش ریزدانه‌ها به‌طور فزاینده‌ای با افزایش قطر لوله افزایش می‌یابد، زیرا با افزایش قطر لوله، سطح مقطع لوله (سطح ریزش محصول بر روی پشته) به‌طور فزاینده‌ای افزایش می‌یابد.

همانطور که در شکل ۱۲ نشان داده شده در $R=0/28$ ، $R=0$ و $R=0/56$ به صورت خطی با افزایش قطر لوله پرکننده کاهش پیدا می‌کند، اما در $R=0/84$ با افزایش قطر لوله به‌صورت خطی افزایش می‌یابد. شکل ۱۳ نشان می‌دهد که پخش ریزدانه‌ها در لوله‌های بزرگ‌تر یکنواخت‌تر است. Engblom و همکاران (۲۰۱۲) نیز مشاهده نمودند که با افزایش قطر لوله ورودی مقادیر بیشتری از ریزدانه‌ها به دیواره سیلو می‌رسند. به عبارت دیگر، NUF_S با افزایش قطر لوله کاهش می‌یابد (به‌عنوان مثال در جدول ۳، آزمایش ۱ تا ۳، با افزایش قطر لوله پرکننده از ۸۴ تا ۱۲۰ میلی‌متر، NUF_S از ۱۲۲/۱۶٪ به ۱۱۰/۳۵٪ کاهش می‌یابد). در شکل ۱۴ تأثیر قطر لوله بر روی شکل کپه به تصویر کشیده شده است. لوله بزرگ‌تر باعث می‌شود که ضلع بالایی کپه تشکیل شده بزرگ‌تر (به دلیل سطح



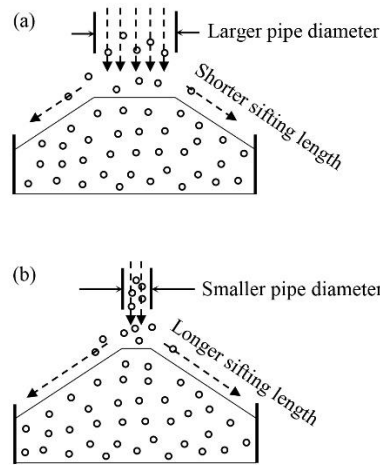
شکل ۱۲- میانگین BC_L در قطرهای مختلف لوله پرکننده

Fig. 12. Mean of local BCFM (BC_L) as influenced by different fill pipe diameter



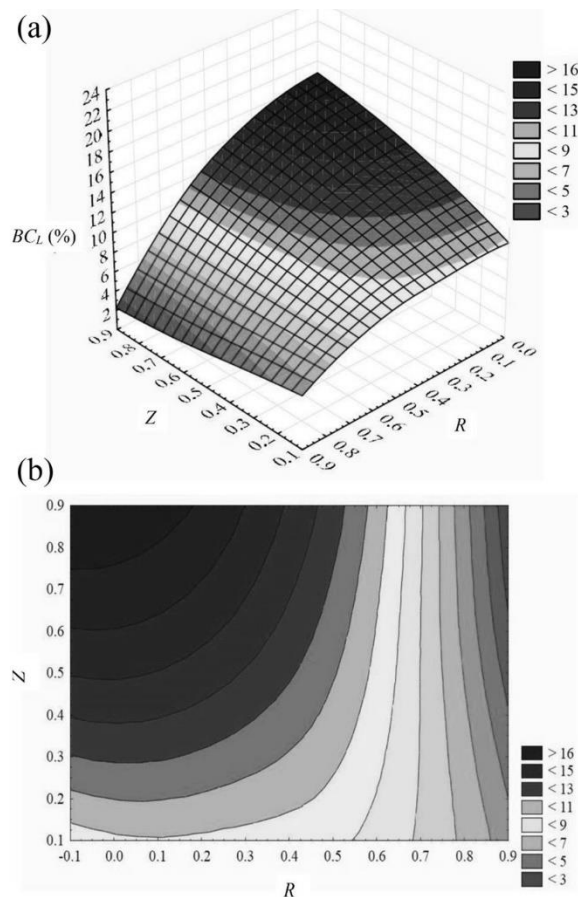
شکل ۱۳- پروفیل توزیع BC_L در قطرهای مختلف لوله پرکننده ($Z=0.79$ و $Q=0.5 \text{ lit s}^{-1}$ ، $BC_1=7.5\%$)

Fig. 13. Distribution profile of local BCFM (BC_L) at different fill pipe diameter (related to $BC_1=7.5\%$, $Q=0.5 \text{ lit s}^{-1}$ and $Z=0.79$)



شکل ۱۴- تأثیر قطر لوله پرکننده بر توزیع ریزدانه‌ها

Fig. 14. Effect of fill pipe diameter on fine (BC_L) distribution



شکل ۱۵- نحوه توزیع ریزدانه‌ها در سیلو بعد از پر شدن ($R^2=0/94$). (a) نمودار رویه‌ای (b) نمودار کانتور

Fig. 15. Prediction of fine (BC_L) distribution in silo after filling, (a) Surface plot (b) Contour plot

بیشترین مقدار NUF_S مربوط به آزمایش ۱ یعنی ۱۲۲/۱۶٪ می‌باشد. همچنان‌که که قبلاً هم اشاره شد، اگرچه NUF_S با افزایش BC_I کاهش می‌یابد، ولی وجود مقادیر زیاد BC_I در سیلوهای نگهداری

همانطور که در جدول ۳ گزارش شده است، یکنواخت‌ترین حالت در پخش ریزدانه‌ها در آزمایش شماره ۱۴ رخ داده است که در آن کمترین مقدار NUF_S (۳۶/۹۷٪) به‌دست آمده است. همچنین

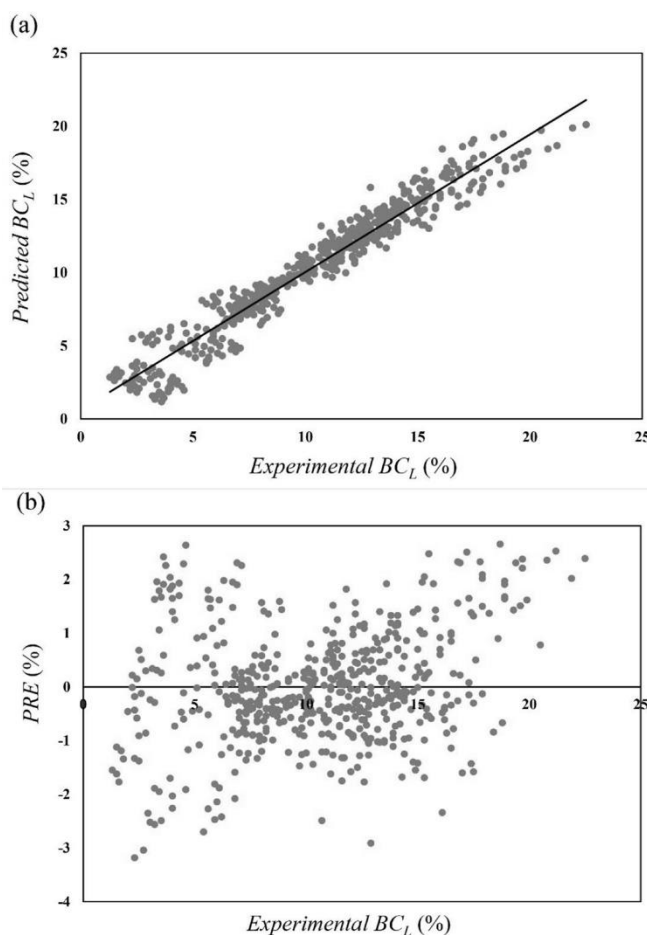
توجه ریزدانه‌ها در مرکز سیلو رخ داده است که این تمرکز نیز با افزایش Z افزایش می‌یابد. کمترین میزان تمرکز ریزدانه‌ها در دیواره سیلو به‌خصوص در سطوح بالاتر Z رخ داده است. این بدان معنی است که حداکثر غیریکنواختی در پخش ریزدانه‌ها در سطوح بالاتر Z رخ می‌دهد.

محصولات دانه‌ای کشاورزی نامطلوب است. شکل ۱۵ پخش ریزدانه‌ها را در تمامی آزمایش‌ها نشان می‌دهد. برای تجسم بهتر تعامل بین R و Z ، داده‌ها به دو صورت، نمودار رویه‌ای^۱ (شکل ۱۵ (a)) و نمودار کانتور^۲ (شکل ۱۵ (b)) ترسیم شده‌اند. نمودارها نشان می‌دهند که چگونه BC_L با تغییر تک به تک یا همزمان R و Z تغییر می‌کند. همانطور که در نمودارها نیز قابل مشاهده است، تمرکز قابل

جدول ۴- ثوابت مدل پیشنهادی برای توزیع ذرات

Table 4- Constants of the distribution model

مقدار Value	ثوابت Constant							
	a_1	a_2	a_3	a_4	a_5	a_6	a_7	a_8
	1.05	-1.283	-0.011	23.335	9.624	-17.17	-13.577	20.727



شکل ۱۶- (a) مقایسه بین مدل پیشنهادی و داده‌های تجربی ($R^2=0.94$) توزیع خطای باقی‌مانده پیش‌بینی مدل جهت تخمین BC_L و (b) توزیع PREs of the developed model for prediction of BC_L

1- Surface plot
2- Contour plot

مدل‌سازی پخش ریزدانه‌ها

اثر پارامترهای تأثیرگذار BC_L ، Q ، D_F و Z بر روی پخش ریزدانه‌ها را می‌توان از طریق معادله زیر بیان نمود:

$$BC_L = a_1 BC_L + a_2 Q + a_3 D_F + a_4 R + a_5 Z + a_6 \exp(R) + a_7 ZR + a_8 \quad (9)$$

ثابت‌های معادله در جدول ۴ ارائه شده است. از میان تمامی مدل‌هایی که به روش سعی و خطا مورد بررسی قرار گرفتند، مدل مذکور به‌عنوان مناسب‌ترین مدل انتخاب شد. مقادیر به‌دست آمده برای شاخص‌های آماری R^2 ، χ^2 ، $RMSE$ و $MRDM$ به ترتیب ۰/۹۴، ۱/۱۴، ۱/۰۶، ۱۱/۳۹ گزارش شد. همانطور قبلاً ذکر شده BC_L تابعی غیرخطی از R و تابعی خطی از Z ، BC_L ، Q و D_F است. گرچه اضافه نمودن جمله‌های بیشتر و پیچیده‌تر پیچیدگی مدل را افزایش می‌دهد، اما در مطالعه حاضر در نظر گرفتن BC_L به‌عنوان تابع نمایی از R و تابعی ضمنی Z و R (ZR) کیفیت مدل را به‌طور قابل توجهی بهبود بخشید. جمله $a_7 ZR$ نشان‌دهنده تعامل قابل توجه از ارتفاع و شعاع سیلو است. شکل ۱۶ (a) برآزش بین داده‌های تجربی و داده‌های پیش‌بینی شده توسط مدل را نشان می‌دهد که حاکی از کیفیت بالای مدل است. شکل ۱۶ (b) توزیع خطای باقی‌مانده پیش‌بینی PRE را برای مدل نشان می‌دهد. همانطور که از شکل برمی‌آید، مقادیر PRE به‌طور تصادفی توزیع شده‌اند و برای پخش آنها هیچ الگوی خاص و منظمی (حساسیت) یافت نمی‌شوند.

نتیجه‌گیری

در این تحقیق پخش ریزدانه‌ها در فرآیند پرکردن سیلو تحت تأثیر عوامل مهمی چون، محتوای اولیه ریزی دانه‌ها، دبی ورودی محصول به سیلو و قطر لوله پرکننده سیلو در یک محیط آزمایشگاهی مورد بررسی قرار گرفت. یک رویکرد جدید برای اندازه‌گیری ریزدانه‌ها در امتداد شعاع و ارتفاع سیلو ارائه گردید. به کمک این روش، نمونه‌گیری بدون برهم‌زنی مواد در منطقه نمونه‌برداری انجام شد. نتایج آزمایش‌ها نشان داد که در آنالیزهای سه‌بعدی فرآیند پر شدن سیلو، میزان BC_L تقریباً میانگین وزنی از مقادیر BC_L نقاط نمونه‌برداری است که در طول شعاع سیلو اندازه‌گیری می‌شود. مشخص شد که با افزایش میزان محتوای اولیه ریزی دانه‌ها، دبی ورودی محصول و قطر لوله پرکننده سیلو، میزان یکنواختی پخش ریزدانه‌ها افزایش می‌یابد. با در نظر گرفتن عوامل عوامل یاد شده، پخش ریزدانه‌ها با استفاده از یک مدل ریاضی شبیه‌سازی گردید که نتایج به‌دست آمده از شاخص‌های آماری حاکی از کیفیت بالای مدل بود. آزمایش‌ها نشان داد که تمرکز قابل توجه ریزدانه‌ها در مرکز سیلوها رخ می‌دهد و این تمرکز با افزایش Z بیشتر می‌شود. کمترین میزان تمرکز ریزدانه‌ها به قسمت‌های نزدیک به دیواره سیلوهاست به‌خصوص در سطوح بالاتر Z . این بدان معنی است که حداکثر غیریکنواختی در پخش ریزدانه‌ها در سطوح بالاتر Z رخ می‌دهد.

References

1. Abbasi, S., S. Minaei, and M. H. Khoshtaghaza. 2014. Investigation of kinetics and energy consumption of thin layer drying of corn. Journal of Agricultural Machinery 4 (1): 98-107. (In Farsi).
2. ASABE. 2008. Moisture measurement- Unground grain and seeds. ASABE S352.2. St. Joseph, Michigan, USA: American Society of Agricultural and Biological Engineers.
3. Bartosik, R. E., and D. E. Maier. 2006. Effect of airflow distribution on the performance of NA/LT in-bin drying of corn. Transactions of the ASABE 49 (4): 1095-1104.
4. Combarros, M. G., H. J. Feise, S. Strege, and A. Kwade. 2016. Segregation in heaps and silos: Comparison between experiment, simulation and continuum model. Powder Technology 293: 26-36.
5. Engblom, N., H. Saxen, R. Zevenhoven, H. Nylander, and G. G. Enstad. 2012. Segregation of powder mixtures at filling and complete discharge of silos. Powder Technology 215-216: 104-116.
6. Fan, Y., K. V. Jacob, B. Freireich, and R. M. Lueptow. 2017. Segregation of granular materials in bounded heap flow: A review. Powder Technology 312: 67-88.
7. Fan, Y., P. B. Umbanhowar, J. M. Ottino, and R. M. Lueptow. 2013. Kinematics of monodisperse and bidisperse granular flows in quasi-two-dimensional bounded heaps. Proceedings of the Royal Society A, 469, 20130235.
8. Fan, Y., Y. Boukerkour, T. Blanc, P. B. Umbanhowar, J. M. Ottino, and R. M. Lueptow. 2012. Stratification, segregation, and mixing granular materials in quasi-two-dimensional bounded heaps. Physical Review E 86, 051305.
9. Jain, A., M. J. Metzger, and B. J. Glasser. 2013. Effect of particle size distribution on segregation in vibrated systems. Powder Technology 237: 543-553.

10. Jayas, D. S., S. Sokhansanj, E. B. Moyseyand, and E. M. Barber. 1987. Distribution of foreign material in canola bins using a spreader or spout. *Canadian Agricultural Engineering* 29: 183-188.
11. Koepe, J. P., M. Enz, and J. Kakalios. 1998. Phase diagram for avalanche stratification of granular media. *Physical Review E* 58, R4104-R4107.
12. Mohsenin, N. N. 1986. *Physical Properties of Plant and Animal Materials*. New York. Gordon and Breach Science Publisher.
13. Noyes, R., S. Navarro, and D. Armitage. 2002. Supplemental aeration systems. PP 413-488 in S. Navarro, & R. Noyes eds. *The mechanics and physics of modern grain aeration management*. Boca Raton: CRC Press.
14. Schulze, D. 2008. *Powders and Bulk Solids - Behaviour, Characterization, Storage and Flow* (chapter 13). Springer. Verlag Berlin Heidelberg.
15. Shinohara, K., B. Golman, and T. Nakata. 2001. Size segregation of multicomponent particles during the filling of a hopper, *Advanced Powder Technology* 10 (1): 333-343.
16. SPSS. 2012. *SPSS/PC for IBM PC/XT, Version 1.10*. SPSS Inc., Chicago, IL, USA,
17. Stephens, L. E., and G. H. Foster. 1976. Grain bulk properties as affected by mechanical grain spreaders, *Transactions of ASAE* 19 (2): 354-358.
18. Strohine, R. 2004. *Physical properties of agricultural materials and food products* (Chapter 2). West Lafayette, Indiana.
19. USDA. 2013. *Grain inspection handbook. Book II. Chapter 4. Corn*. U.S. Department of Agriculture, Grain inspection, Packers and Stockyards Administration, Federal Grain Inspection Service.

Appraisal of Fine Distribution in a Pilot-scale Silo in Different Filling Conditions

A. Nourmohamadi Moghadami¹ - D. Zare^{2*} - Sh. Kamfiroozi³ - A. Jafari⁴ - M. A. Nematollahi⁵ - R. Kamali⁶

Received: 30-12-2017

Accepted: 17-02-2018

Introduction

During filling a silo, granular material containing a range of particle sizes, the fine material accumulates under the filling point. The inclined surface of stationary bed particle which is formed in silos during filling process acts similar to a sieve through which the smaller particle fall. This effect is called *sifting*. As a result of the mentioned effect, much finer particles form a vertical cylindrical zone of high concentration at the silo center. For optimal design in industrial process such as aeration of stored products in silos, filling silos, and wherever granular materials are handled, it is necessary to survey the distribution of the fine materials depending on product and process properties. The objectives of present study were: (a) To study fine change as affected by substantial parameters, (b) To model fine changes at different conditions in silos.

Materials and Methods

In the present study, an experimental setup consist of a main container, elevator, trapezoidal container and experimental silo was designed and built. Fine content was defined by BCFM (broken corn and foreign material). By applying a new approach, sampling was performed in a radial and vertical direction. The position of each sampling point was determined with a scaled distance from center (R) and from bottom (Z). Local BCFM (BC_L) was defined as the value of BCFM in each sampling point. Influential parameters namely, initial BCFM (BC_I), volume flow rate (Q) and fill pipe diameter (D_F) were considered as treatments. Non-linear regression technique was applied on the experimental data to predict the distribution pattern of fines into the pilot-scale silo. The most appropriate model in a try and error procedure was selected based on highest value of R^2 and least value of χ^2 , $RMSE$ and $MRDM$.

Results and Discussions

According to the results of ANOVA, it was found that the effects of all parameters were significant at 5% probability. BC_L decreased nonlinearly with a concave down decreasing trend along radial direction due to sifting effect. As a result, most amount of fines remained in the sections closer to the center of the silo. Fine distribution became more uniform with decreasing Z and increasing BC_I and D_F . Also, the distribution of fine became more uniform with increasing Q . BC_L was a nonlinear function of R and a linear function of Z , BC_I , Q and D_F . Although including more and complex terms increased the model complexity but in the present study considering BC_L as an exponential function of R and as an implicit function of Z and R (ZR) improved the quality of the model significantly. The values of 0.94, 1.14, 1.06, 11.39 for R^2 , χ^2 , $RMSE$ and $MRDM$, respectively, gave the best model. The results showed, considerable accumulation of fines occurred at the center of the silo which increased with increase of level of Z . Also, low concentration of fine occurred at the periphery of the silo especially at higher levels of Z . It means that maximum non-uniformity of fine distribution occurred at higher levels of Z .

1- Ph.D. Student, Biosystems Engineering Department, College of Agriculture, Shiraz University

2- Associate Professor, Biosystems Engineering Department, College of Agriculture, Shiraz University

3- Undergraduate Student, Biosystems Engineering Department, College of Agriculture, Shiraz University

4- Associate Professor, Biosystems Engineering Department, College of Agriculture, Shiraz University

5- Assistant Professor, Biosystems Engineering Department, College of Agriculture, Shiraz University

6- Professor, Mechanical Engineering College, Shiraz University

(*- Corresponding Author Email: dzare@shirazu.ac.ir)

Conclusions

The present study investigated distribution of fines during filling affected by main parameters namely, initial BCFM, volume flow rate and fill pipe diameter in a pilot scale silo. A new procedure was developed for measuring the fine material along radial and vertical directions. Distribution of fine was modeled using a developed equation considering the effects of main parameters. The results showed that distribution of fine becomes more uniform with decreasing height and increasing initial BCFM, volume flow rate and fill pipe diameter.

Keywords: Corn, Filling method, Fine distribution pattern, Material flow, Nonlinear model, Silo